

P14-2003-49

Д. П. Козленко, В. И. Воронин¹, В. П. Глазков²,
И. В. Медведева¹, Б. Н. Савенко

МАГНИТНЫЕ ФАЗОВЫЕ ПЕРЕХОДЫ
В ДОПИРОВАННЫХ ЖЕЛЕЗОМ МАНГАНИТАХ
 $\text{Pr}_{0,7}\text{Ca}_{0,3}\text{Mn}_{1-y}\text{Fe}_y\text{O}_3$ ПРИ ВЫСОКИХ ДАВЛЕНИЯХ

Направлено в «ЖЭТФ»

¹Институт физики металлов УрО РАН, Екатеринбург

²РНЦ «Курчатовский институт», Москва

1. Введение

Перовскитоподобные мanganиты $A_{1-x}A'_xMnO_3$ (A - редкоземельный, A' - щелочноземельный элементы) проявляют большое разнообразие магнитных и электронных свойств в зависимости от номера A' - элемента и его содержания. Большой интерес к изучению этих соединений был вызван открытием эффекта колоссального магнетосопротивления (КМС), обусловленного сильной корреляцией магнитных, электронных и транспортных свойств мanganитов [1].

Интересно отметить, что "химическое" давление, т.е. уменьшение среднего радиуса A/A' - катиона - $\langle r_A \rangle$ при фиксированной концентрации (x), и внешнее высокое давление оказывают качественно различное влияние на магнитные и транспортные свойства мanganитов. В обоих случаях наблюдается уменьшение объема элементарной ячейки, однако влияние "химического" давления приводит к снижению температуры перехода диэлектрик - металл T_{I-M} и температуры Кюри T_C [2], а приложение внешнего давления ведет к росту T_{I-M} и T_C [3]. Предполагается [3], что данное явление связано с различным влиянием "химического" и внешнего давления на ширину зоны носителей заряда W , которая в рамках модели двойного обмена [4-6] определяет значения T_{I-M} и T_C , $T_{I-M} \approx T_C \sim W$. Величина W определяется значениями длин связей Mn-O и валентных углов Mn-O-Mn в кислородных октаэдрах MnO_6 [3]. Воздействие "химического" давления приводит к уменьшению W за счет уменьшения валентного угла Mn-O-Mn, а при воздействии внешнего давления ожидается увеличение валентного угла Mn-O-Mn.

Интересными объектами для изучения взаимосвязи между изменениями кристаллической и магнитной структуры, транспортных и магнитных свойств мanganитов под влиянием внешнего высокого давления являются соединения $Pr_{0.7}Ca_{0.3}Mn_{1-y}Fe_yO_3$. Исходный состав $Pr_{0.7}Ca_{0.3}MnO_3$ [7, 8] в нормальных условиях имеет орторомбическую структуру (пр. гр. $Pnma$) и является парамагнитным диэлектриком. С понижением температуры при $T_{CO} \approx 200$ К в нем наблюдается электронный фазовый переход, связанный с зарядовым упорядочением ионов Mn^{3+}/Mn^{4+} в структуре. При $T_N \approx 140$ К в $Pr_{0.7}Ca_{0.3}MnO_3$ происходит переход в антиферромагнитное (АФМ) состояние псевдоСЕ типа. С дальнейшим понижением температуры наблюдается сложное магнитное состояние, включающее АФМ компонент псевдоСЕ типа и ферромагнитный (ФМ) компонент [8, 9]. Согласно [9], появление такого магнитного состояния в $Pr_{0.7}Ca_{0.3}MnO_3$ обусловлено фазовым расслоением в области низких температур, приводящим к существованию АФМ- и ФМ-фаз. Однако окончательного подтверждения этого предположение не получило. Так, в работе [10] признаков фазового расслоения в $Pr_{0.7}Ca_{0.3}MnO_3$ не наблюдалось, и было установлено, что магнитная структура этого соединения является склоненным антиферромагнетиком, имеющим АФМ- и ФМ-компоненты.

Под воздействием внешнего высокого давления $P > 0.5$ ГПа в $Pr_{0.7}Ca_{0.3}MnO_3$ наблюдался фазовый переход диэлектрик - металл, причем с ростом давления происходит заметное увеличение T_{I-M} [11]. В нейтронографическом исследовании монокристаллов $Pr_{0.7}Ca_{0.3}MnO_3$ при давлениях до 2 ГПа [12] наблюдалось подавление антиферромагнитной компоненты и рост вклада ферромагнитной компоненты при низких температурах.

Для соединений $Pr_{1-x}Ca_xMnO_3$ концентрация атомов Ca $x \approx 0.3$ лежит вблизи фазовой границы, разделяющей области антиферромагнитного и

ферромагнитного состояния, и незначительные вариации химического состава могут привести к изменению магнитного состояния системы. Так, в исследовании систем $\text{Pr}_{0.6}\text{Ca}_{0.4}\text{Mn}_{1-y}\text{Fe}_y\text{O}_3$ [13] было установлено, что замещение части атомов Mn атомами Fe приводит к разрушению зарядового упорядочения ионов $\text{Mn}^{3+}/\text{Mn}^{4+}$ и появлению ферромагнитного металлического состояния в области низких температур при $y > 0,02$. Подавление зарядового упорядочения ионов $\text{Mn}^{3+}/\text{Mn}^{4+}$ при допировании железом также наблюдалось в системах $\text{Pr}_{0.5}\text{Ca}_{0.5}\text{Mn}_{1-y}\text{Fe}_y\text{O}_3$ [14, 15], однако в области низких температур они остаются диэлектриками и переход в металлическое состояние происходит лишь при приложении внешнего магнитного поля [15].

Настоящая работы посвящена исследованию влияния внешнего высокого давления на атомную и магнитную структуру допированных железом манганитов $\text{Pr}_{0.7}\text{Ca}_{0.3}\text{Mn}_{1-y}\text{Fe}_y\text{O}_3$ ($y = 0; 0,1$) в области низких температур методом нейтронной дифракции и изучению взаимосвязи между наблюдаемыми структурными изменениями с изменениями магнитных и транспортных свойств.

2. Описание эксперимента

Поликристаллические образцы $\text{Pr}_{0.7}\text{Ca}_{0.3}\text{Mn}_{1-y}\text{Fe}_y\text{O}_3$ ($y = 0; 0,1$) были приготовлены обычным методом твердофазной реакции. Стехиометрические смеси порошков Pr_6O_{11} , CaCO_3 , MnO_2 и Fe_2O_3 отжигались в воздухе при температуре 1173 К в течение 24 часов. Синтез проводился при температуре 1473 К в течение 96 часов с промежуточным дроблением и прессованием в таблетки.

Эксперименты проводились на спектрометре ДН-12 [16] на импульсном высокопоточном реакторе ИБР-2 (ЛНФ им. И.М. Франка, ОИЯИ, Дубна) с использованием камер высокого давления с сапфировыми наковальнями [17] в диапазоне внешних высоких давлений до 4 ГПа. Объем исследуемых образцов составлял $V \sim 2 \text{ mm}^3$. Дифракционные спектры измерялись при углах рассеяния $2\theta = 92^\circ$ и $45,9^\circ$. Для данных углов рассеяния разрешение дифрактометра на длине волны $\lambda = 2 \text{ \AA}$ составляло $\Delta d/d = 0,02$ и $0,025$, соответственно. Характерное время измерения одного спектра - 20 ч. Давление в камере измерялось по сдвигу линии люминесценции рубина с точностью 0,5 кбар. В качестве величины давления на образце использовалось значение, усредненное по величинам, определенным в нескольких точках поверхности образца. Градиент распределения давления по поверхности образца не превышал 10 %. Для проведения измерений с камерой высокого давления при низких температурах до 16 К использовался специализированный криостат на базе гелиевого рефрижератора замкнутого цикла. Анализ дифракционных данных производился методом Ритвельда с помощью программ MRIA [18] (атомная структура) и Fullprof [19] (атомная и магнитная структура) в рамках известных структурных моделей [8, 9].

3. Полученные результаты

Участки дифракционных спектров $\text{Pr}_{0.7}\text{Ca}_{0.3}\text{MnO}_3$, полученных при различных давлениях и температурах, показаны на рис. 1. Во всем исследуемом интервале давлений до 4 ГПа атомная структура этого соединения сохраняет исходную орторомбическую симметрию. Структурные параметры, полученные в результате анализа дифракционных данных, измеренных при нормальных условиях, находятся в хорошем согласии с

предыдущими исследованиями $\text{Pr}_{0.7}\text{Ca}_{0.3}\text{MnO}_3$ [8, 9]. Спектр, измеренный при нормальном давлении и $T = 16$ К, соответствует антиферромагнитному состоянию псевдоCE типа. Антиферромагнитная структура псевдоCE-типа [1] характеризуется наличием зарядового упорядочения ионов Mn^{3+} и Mn^{4+} , которые образуют две магнитные подрешетки, соответствующие векторам распространения $q_1 = (0\ 0\ 1/2)$ и $q_2 = (1/2\ 0\ 1/2)$. Магнитные моменты ионов Mn направлены вдоль кристаллографической оси b и имеют примерно одинаковые значения для обеих подрешеток, $\mu_{q1} \approx \mu_{q2} = 2,6(1)$ μ_B . Эти значения согласуются с величиной полного магнитного момента $\text{Pr}_{0.7}\text{Ca}_{0.3}\text{MnO}_3$ $\mu = 2,53(7)$ μ_B , полученной в [10].

В настоящем исследовании в области температур $T < 100$ К появления ферромагнитного компонента в $\text{Pr}_{0.7}\text{Ca}_{0.3}\text{MnO}_3$ не наблюдалось. Уточнение содержания Ca по дифракционным данным методом Ритвельда показало, что оно несколько превышает 0,3 и точная химическая формула исследуемого соединения – $\text{Pr}_{0.68}\text{Ca}_{0.32}\text{MnO}_3$. Температура появления ферромагнитного компонента в соединениях $\text{Pr}_{1-x}\text{Ca}_x\text{MnO}_3$ в области $x \sim 0,3$ сильно зависит от x , и для $x = 0,32$ составляет $T_C \approx 30$ К [20]. Поскольку минимальное значение температуры, достигнутой в данном исследовании, $T = 16$ К сравнимо с T_C , появления ферромагнитного вклада в дифракционный спектр в пределах погрешности эксперимента зафиксировать не удалось.

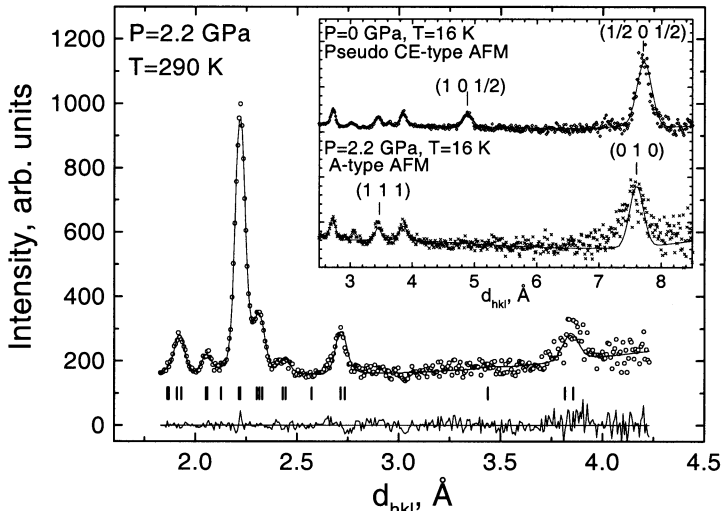


Рис. 1. Дифракционные спектры $\text{Pr}_{0.7}\text{Ca}_{0.3}\text{MnO}_3$, измеренные при $P = 2,2$ ГПа и $T = 290$ К (угол рассеяния $2\theta = 92^\circ$), $P = 0$ и $2,2$ ГПа, $T = 16$ К (угол рассеяния $2\theta = 45,9^\circ$, вставка), обработанные по методу Ритвельда. Показаны экспериментальные точки, вычисленный профиль и разностная кривая. Приведены индексы Миллера для наиболее интенсивных АФМ-рефлексов

При давлении $P = 2,2$ ГПа в области температур $T \leq 150$ К в $\text{Pr}_{0.7}\text{Ca}_{0.3}\text{MnO}_3$ обнаружено появление новых дифракционных пиков (рис. 1), положение которых не соответствовало исходной АФМ структуре псевдо-СЕ типа. Анализ дифракционных данных показал, что эти пики соответствуют

возникновению нового антиферромагнитного состояния со структурой А-типа [1] и вектором распространения $\mathbf{q} = (0 \ 1 \ 0)$. В соответствии с [11], это состояние является металлическим. Магнитные моменты ионов Mn в АФМ-структуре А-типа лежат в кристаллографической плоскости (*ac*) и при $P = 2,2$ ГПа и $T = 16$ К имеют значения $\mu_{\text{AFM}} = 1,6(1) \ \mu_{\text{B}}$. Полученные структурные параметры $\text{Pr}_{0.7}\text{Ca}_{0.3}\text{MnO}_3$ при различных давлениях представлены в таблице.

Структурные параметры соединений $\text{Pr}_{0.7}\text{Ca}_{0.3}\text{MnO}_3$ и $\text{Pr}_{0.7}\text{Ca}_{0.3}\text{Mn}_{0.9}\text{Fe}_{0.1}\text{O}_3$ при различных давлениях и комнатной температуре. Атомы Mn/Fe находятся в позициях 4(b) (0, 0, 0.5), атомы Pr/Ca и O1 - 4(c) (x, 1/4, z) и атомы O2 - 8(d) (x, y, z) пространственной группы Рnma. Также приведены средние значения магнитных моментов атомов Mn/Fe при $T = 16$ К, валентных связей Mn/Fe-O1, Mn/Fe-O2 и валентных углов Mn/Fe-O1-Mn/Fe и Mn/Fe-O2-Mn/Fe

	$\text{Pr}_{0.7}\text{Ca}_{0.3}\text{MnO}_3$			$\text{Pr}_{0.7}\text{Ca}_{0.3}\text{Mn}_{0.9}\text{Fe}_{0.1}\text{O}_3$		
$P, \text{ГПа}$	0	2.2	4	0	2.7	3.7
$a, \text{\AA}$	5.468(5)	5.468(5)	5.468(5)	5.461(5)	5.461(5)	5.461(5)
$b, \text{\AA}$	7.677(8)	7.63(1)	7.56(1)	7.685(8)	7.61(1)	7.59(1)
$c, \text{\AA}$	5.435(5)	5.435(5)	5.435(5)	5.431(5)	5.431(5)	5.431(5)
Pr/Ca:	x z	0.036(3) -0.013(4)	0.038(5) -0.030(6)	0.036(5) -0.026(6)	0.041(3) -0.008(4)	0.046(5) -0.032(6)
O1:	x z	0.486(4) 0.070(3)	0.489(5) 0.068(5)	0.477(5) 0.064(5)	0.486(4) 0.070(3)	0.483(5) 0.066(5)
O2:	x y z	0.286(2) 0.039(2) 0.714(2)	0.287(3) 0.035(4) 0.713(3)	0.287(3) 0.034(4) 0.713(3)	0.288(2) 0.039(2) 0.712(2)	0.290(3) 0.039(4) 0.710(3)
$\mu_{\text{AFM}}, \mu_{\text{B}}$	1.3(1)	1.6(1)	2.1(1)	-		1.5(1)
$\mu_{\text{FM}}, \mu_{\text{B}}$	-	-	-	1.4(1)		0.8(1)
$\text{Mn/Fe-O1}, \text{\AA}$	1.958(8)	1.94(1)	1.93(1)	1.961(8)	1.94(1)	1.93(1)
$\text{Mn/Fe-O2}, \text{\AA}$	1.972(8) 1.969(8)	1.968(12) 1.965(12)	1.967(12) 1.963(12)	1.971(8) 1.968(8)	1.973(12) 1.970(12)	1.972(12) 1.969(12)
Mn/Fe-O1-Mn/Fe	$157.2(1)^{\circ}$	$157.2(2)^{\circ}$	$157.6(2)^{\circ}$	$157.1(1)^{\circ}$	$157.9(2)^{\circ}$	$158.0(2)^{\circ}$
Mn/Fe-O2-Mn/Fe	$156.1(1)^{\circ}$	$157.9(2)^{\circ}$	$157.9(2)^{\circ}$	$155.5(1)^{\circ}$	$155.1(2)^{\circ}$	$155.4(2)^{\circ}$
$R_p, \%$	2.81	7.62	10.33	5.54	8.11	8.68
$R_{wp}, \%$	2.90	6.36	8.15	3.39	6.77	6.16

Интересно отметить, что в нейтронографическом исследовании монокристаллов $\text{Pr}_{0.7}\text{Ca}_{0.3}\text{MnO}_3$ [12] при давлениях до 2 ГПа также было установлено подавление вклада от псевдоСЕ АФМ-компонента магнитной структуры. Однако в этом эксперименте сканирование обратного пространства производилось только в области некоторых наиболее интенсивных магнитных рефлексов псевдоСЕ АФМ- и ФМ-компонентов магнитной структуры, и переход в АФМ-состояние А-типа не был обнаружен.

Участки дифракционных спектров $\text{Pr}_{0.7}\text{Ca}_{0.3}\text{Mn}_{0.9}\text{Fe}_{0.1}\text{O}_3$, полученных при различных давлениях и температурах, показаны на рис. 2. При нормальном давлении и $T < 100$ К в этом соединении возникает ферромагнитное состояние, в котором магнитные моменты ионов Mn/Fe лежат в плоскости (*ac*) и их среднее значение при $T = 16$ К составляет $\mu_{\text{FM}} = 1.4(1) \ \mu_{\text{B}}$. По аналогии с близкими по химическому составу и магнитным свойствам соединениями

$\text{Pr}_{0.6}\text{Ca}_{0.4}\text{Mn}_{1-y}\text{Fe}_y\text{O}_3$ [13] можно предположить, что оно также является металлическим. Замещение 10 % атомов Mn атомами Fe приводит к заметному уменьшению значения среднего магнитного момента ионов Mn/Fe, которое в исходном соединении $\text{Pr}_{0.7}\text{Ca}_{0.3}\text{MnO}_3$ составляет 2,6 μ_{B} . Подобное явление наблюдалось также в $\text{La}_{0.7}\text{Ca}_{0.3}\text{Mn}_{1-y}\text{Fe}_y\text{O}_3$ [21]. Ионы железа в данных соединениях замещают часть ионов Mn^{3+} , и они находятся в состоянии Fe^{3+} ($t^3_{2g}e_g^2$) с 2 e_g -электронами. Такое замещение приводит к ослаблению двойного обменного взаимодействия, лежащего в основе формирования ферромагнитного состояния в мanganитах [1] и появлению магнитных неоднородностей [14]. Влияние этих факторов приводит к уменьшению среднего значения магнитного момента ионов Mn/Fe и намагниченности [14, 21]. С повышением давления при $P = 2,7 \text{ ГПа}$ и $T \approx 40 \text{ К}$ в $\text{Pr}_{0.7}\text{Ca}_{0.3}\text{Mn}_{0.9}\text{Fe}_{0.1}\text{O}_3$ также обнаружено появление новых магнитных дифракционных пиков (рис. 2), соответствующих антиферромагнитному состоянию А-типа, при этом наблюдалось его сосуществование с исходным ферромагнитным состоянием вплоть до $T = 16 \text{ К}$. При $P = 3,7 \text{ ГПа}$ и $T = 16 \text{ К}$ средние значения магнитных моментов ионов Mn/Fe в АФМ-фазе составили $\mu_{\text{AFM}} = 1,5(1) \mu_{\text{B}}$, а в ФМ-фазе - $\mu_{\text{FM}} = 0,8(1) \mu_{\text{B}}$. Структурные параметры $\text{Pr}_{0.7}\text{Ca}_{0.3}\text{Mn}_{0.9}\text{Fe}_{0.1}\text{O}_3$ при различных давлениях представлены в таблице.

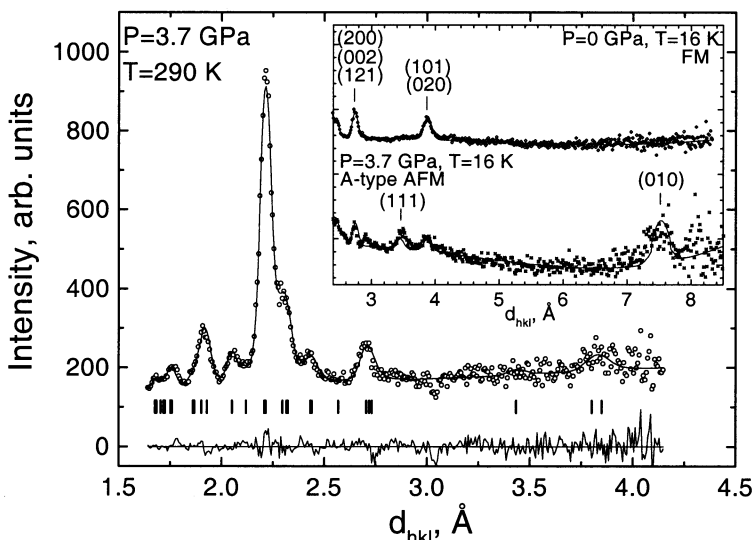


Рис. 2. Дифракционные спектры $\text{Pr}_{0.7}\text{Ca}_{0.3}\text{Mn}_{0.9}\text{Fe}_{0.1}\text{O}_3$, измеренные при $P = 3,7 \text{ ГПа}$ и $T = 290 \text{ К}$ (угол рассеяния $2\theta = 92^\circ$), $P = 0$ и $3,7 \text{ ГПа}$, $T = 16 \text{ К}$ (угол рассеяния $2\theta = 45,9^\circ$, вставка), обработанные по методу Ритвельда. Показаны экспериментальные точки, вычисленный профиль и разностная кривая. Приведены индексы Миллера для наиболее интенсивных структурных рефлексов, имеющих ферромагнитный вклад (для $P = 0$) и АФМ-рефлексов (для $P = 3,7 \text{ ГПа}$)

Оба исследуемых соединения показывают заметную анизотропию сжатия. Рассчитанный коэффициент линейной сжимаемости $k_i = (1/a_{i0}) \cdot (da_i/dP)_T$

для параметра элементарной ячейки b при комнатной температуре составляет для $\text{Pr}_{0.7}\text{Ca}_{0.3}\text{MnO}_3$ и $0,003 \text{ ГПа}^{-1}$ для $\text{Pr}_{0.7}\text{Ca}_{0.3}\text{Mn}_{0.9}\text{Fe}_{0.1}\text{O}_3$, в то время как соответствующие значения для других параметров элементарной ячейки k_a , $k_c < 0,0015 \text{ ГПа}^{-1}$ для обоих соединений. Появление уширения дифракционных пиков при высоких давлениях, связанного с наличием градиента распределения давления по объему исследуемого образца, не позволило определить изменения параметров элементарной ячейки a и c с достаточной точностью, поэтому величины k_a и k_c имеют оценочный характер.

Анизотропия сжатия различных параметров решетки приводит к одноосному сжатию кислородных октаэдров MnO_6 в структуре вдоль кристаллографической оси b . Длины двух валентных связей $\text{Mn}-\text{O}2$, лежащих в плоскости (ac), практически не изменяются с давлением, их среднее значение $\langle l_{\text{Mn}-\text{O}2} \rangle \approx 1,97(1) \text{ \AA}$, в то время как длина валентной связи $\text{Mn}-\text{O}1$, ориентированной вдоль кристаллографической оси b , уменьшается с $l_{\text{Mn}-\text{O}1} \approx 1,96$ до $1,93 \text{ \AA}$ в обоих соединениях (рис. 3). В $\text{Pr}_{0.7}\text{Ca}_{0.3}\text{MnO}_3$ с ростом давления от 0 до 4 ГПа происходит увеличение валентных углов в кислородных октаэдрах MnO_6 , угол $\text{Mn}-\text{O}2-\text{Mn}$ возрастает от $156,1^\circ$ до $157,6^\circ$, а угол $\text{Mn}-\text{O}1-\text{Mn}$ - от $157,2^\circ$ до $157,9^\circ$. В $\text{Pr}_{0.7}\text{Ca}_{0.3}\text{Mn}_{0.9}\text{Fe}_{0.1}\text{O}_3$ с ростом давления до 3,7 ГПа величина угла $\text{Mn}-\text{O}2-\text{Mn}$ мало изменяется, $\alpha_{\text{Mn}-\text{O}2-\text{Mn}} \approx 155,42^\circ$, а значение угла $\text{Mn}-\text{O}1-\text{Mn}$ возрастает от $157,2^\circ$ до 158° .

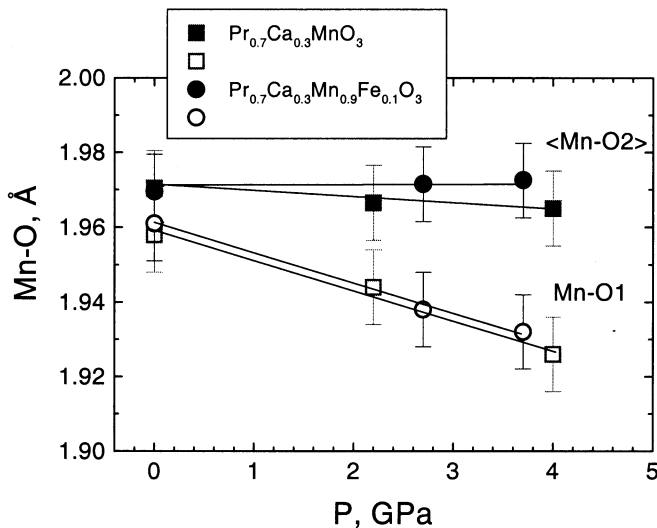


Рис. 3. Зависимости длины связи $\text{Mn}-\text{O}1$ и средней длины связи $\text{Mn}-\text{O}2$ в $\text{Pr}_{0.7}\text{Ca}_{0.3}\text{MnO}_3$ и $\text{Pr}_{0.7}\text{Ca}_{0.3}\text{Mn}_{0.9}\text{Fe}_{0.1}\text{O}_3$ от давления

4. Обсуждение результатов

Возможной причиной возникновения антиферромагнитного металлического состояния А-типа в $\text{Pr}_{0.7}\text{Ca}_{0.3}\text{MnO}_3$ и $\text{Pr}_{0.7}\text{Ca}_{0.3}\text{Mn}_{0.9}\text{Fe}_{0.1}\text{O}_3$ является анизотропия сжимаемости этих соединений, которая приводит к заметному одноосному сжатию кислородных октаэдров MnO_6 вдоль кристаллографической оси b . Недавние теоретические [22] и

экспериментальные [23] исследования показали, что магнитные свойства манганитов, обладающих эффектом колоссального магнетосопротивления, существенным образом зависят от величины тетрагонального искажения c_p/a_p параметров псевдокубической элементарной ячейки структуры перовскита. Соотношение между параметрами орторомбической ячейки (a , b , c) перовскитоподобных манганитов (пр. гр. $Pnma$) и параметрами c_p , a_p имеет вид $a \approx c \approx a_p \sqrt{2}$, $b \approx 2c_p$. Пренебрегая разницей между значениями параметров a и c элементарной ячейки орторомбической структуры $\text{Pr}_{0.7}\text{Ca}_{0.3}\text{MnO}_3$ и $\text{Pr}_{0.7}\text{Ca}_{0.3}\text{Mn}_{0.9}\text{Fe}_{0.1}\text{O}_3$ (которая не превышает 1 %), можно оценить величину тетрагонального искажения в этих соединениях как $c_p/a_p \approx l_{\text{Mn}-\text{O}1}/l_{\langle\text{Mn}-\text{O}2\rangle}$. Полученные значения составляют $c_p/a_p = 0,986$ для $\text{Pr}_{0.7}\text{Ca}_{0.3}\text{MnO}_3$ при $P = 2,2$ ГПа, $c_p/a_p = 0,984$ для $\text{Pr}_{0.7}\text{Ca}_{0.3}\text{Mn}_{0.9}\text{Fe}_{0.1}\text{O}_3$ при $P = 2,7$ ГПа и уменьшаются с дальнейшим ростом давления или понижением температуры. Согласно [22, 24], в случае тетрагонального искажения $c_p/a_p < 1$ происходит преимущественное заселение $d(x^2-y^2)$ -орбиталей ионов Mn (возникает орбитально упорядоченное состояние) и уменьшение обменного интеграла J_1 между ближайшими соседями в направлении одноосного сжатия. Эти факторы создают предпочтительные условия для формирования АФМ-состояния А-типа, для которого характерно наличие ферромагнитных плоскостей (ac) с противоположным направлением магнитных моментов ионов Mn/Fe, чередующихся вдоль оси b орторомбической структуры (рис. 4).

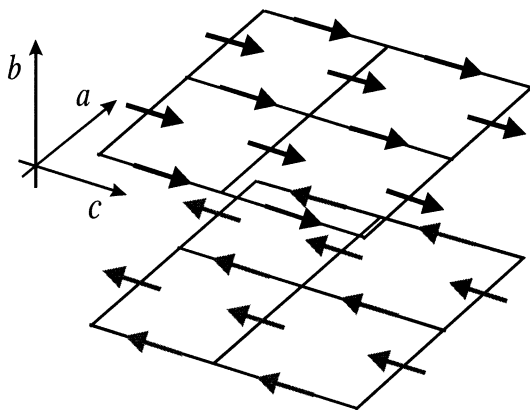


Рис. 4. Магнитная структура А-типа в $\text{Pr}_{0.7}\text{Ca}_{0.3}\text{MnO}_3$ и $\text{Pr}_{0.7}\text{Ca}_{0.3}\text{Mn}_{0.9}\text{Fe}_{0.1}\text{O}_3$ при высоких давлениях. Показаны направления магнитных моментов ионов марганца

Возникновение металлического антиферромагнитного состояния А-типа также обнаружено в некоторых манганитах при нормальном давлении в области низких температур - $\text{Pr}_{1-x}\text{Sr}_x\text{MnO}_3$ при $0,48 < x < 0,58$ [25], $\text{Nd}_{1-x}\text{Sr}_x\text{MnO}_3$ при $0,48 < x < 0,58$ [26] и $(\text{Nd}_{1-z}\text{La}_z)_0.5\text{Sr}_{0.5}\text{MnO}_3$ при $0,4 < z < 0,6$ [11]. Переход в АФМ-состояние А-типа в этом случае также сопровождался значительным одноосным сжатием кислородных октаэдров MnO_6 , вызванным заметным уменьшением параметра b и небольшим увеличением параметров a и c элементарной ячейки.

Упорядочение $d(x^2-y^2)$ -орбиталей ионов Mn в плоскостях (*ac*) способствует формированию псевдодвумерной зоны проводимости, ширина которой W может существенно зависеть от межатомных расстояний и углов. В рамках модели двойного обмена [5-7] вариация температуры перехода диэлектрик - металл T_{I-M} и температуры Кюри T_C при вариации химического состава или воздействии внешнего давления определяется изменением ширины зоны носителей заряда W , $T_{I-M} (T_C) \propto W$. Зависимость W от структурных параметров в перовскитных материалах ABO_3 может быть выражена следующим образом [27, 28]:

$$W \propto \frac{\cos \omega}{l_{B-O}^{3.5}}. \quad (1)$$

Здесь ω - средний угол наклона октаэдров BO_6 в плоскости валентной связи, $\omega = \frac{1}{2}(\pi - \langle B-O-B \rangle)$ и l_{B-O} - средняя длина связи B-O.

Уменьшение средней длины связи $\langle \text{Mn}-\text{O} \rangle$ и увеличение среднего межатомного угла $\langle \text{Mn}/\text{Fe}-\text{O}-\text{Mn}/\text{Fe} \rangle$ (увеличение $\cos \omega$) приводят к почти линейному возрастанию W (см. табл., рис. 5) в соединениях $\text{Pr}_{0.7}\text{Ca}_{0.3}\text{Mn}_1_y\text{Fe}_y\text{O}_3$ при увеличении давления. На рис. 5 также показана барическая зависимость температуры перехода диэлектрик - металл $T_{I-M}(P)$, полученная для исследуемого образца $\text{Pr}_{0.7}\text{Ca}_{0.3}\text{MnO}_3$ в диапазоне давлений 1,5 – 2,1 ГПа в ИФМ УрО РАН, и аналогичные данные для $\text{Pr}_{0.7}\text{Ca}_{0.3}\text{MnO}_3$, полученные ранее в диапазоне 0,5 – 1,5 ГПа [11]. Как видно из рис. 5, в $\text{Pr}_{0.7}\text{Ca}_{0.3}\text{MnO}_3$ наблюдается заметная корреляция между зависимостями $T_{I-M}(P)$ и $W(P)$. Некоторое расхождение между величинами $T_{I-M}(P)$ для образца $\text{Pr}_{0.7}\text{Ca}_{0.3}\text{MnO}_3$, исследуемого в настоящей работе (точное значение содержания кальция $x = 0,32$) и данными [11], по-видимому, связано с небольшим отклонением x от 0,3.

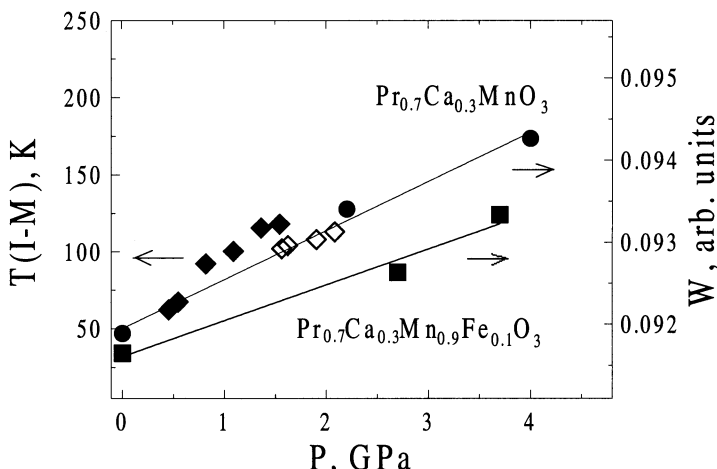


Рис. 5. Рассчитанные зависимости ширины зоны носителей заряда W для $\text{Pr}_{0.7}\text{Ca}_{0.3}\text{MnO}_3$ и $\text{Pr}_{0.7}\text{Ca}_{0.3}\text{Mn}_{0.9}\text{Fe}_{0.1}\text{O}_3$ от давления. Также показаны зависимости температуры перехода диэлектрик - металл T_{I-M} от давления, полученные для исследуемого образца $\text{Pr}_{0.7}\text{Ca}_{0.3}\text{MnO}_3$ (белые ромбы), и аналогичные данные из работы [10] (черные ромбы)

Проведенные ранее исследования свойств мanganитов $A_{0.7}A'_0.3MnO_3$ [2] с различными значениями среднего радиуса A/A' -катиона показали наличие тесной взаимосвязи между температурой перехода диэлектрик - металл и так называемым фактором толерантности, характеризующим геометрическое искажение кристаллической структуры по сравнению с идеальной кубической структурой перовскита,

$$t = l_{A-O}/\sqrt{2} l_{Mn-O}, \quad (2)$$

где l_{A-O} - расстояние между A/A' -катионами и атомами кислорода, и l_{Mn-O} - длина валентной Mn-O связи. Идеальной кубической структуре перовскита соответствует $t=1$. Соединению $Pr_{0.7}Ca_{0.3}MnO_3$ отвечает величина фактора толерантности, которая находится вблизи границы перехода диэлектрик - металл [2]. В расчетах с использованием таблиц стандартных ионных радиусов A/A' -катиона, отвечающих величинам координационного числа атомов кислорода вокруг A/A' -катиона $N = 12$, для $Pr_{0.7}Ca_{0.3}MnO_3$ было получено значение $t \approx 0,96$ [29]. С увеличением t сначала наблюдался рост T_{I-M} до $t \approx 0,98$, а затем небольшое снижение T_{I-M} .

Анизотропия сжатия решетки при высоких давлениях ведет к неэквивалентному изменению различных межатомных расстояний. В этом случае для вычисления t можно использовать усредненные по первой координационной сфере значения межатомных расстояний $\langle l_{A-O} \rangle$ и $\langle l_{Mn-O} \rangle$, $t = \langle l_{A-O} \rangle / \sqrt{2} \langle l_{Mn-O} \rangle$. Вычисленное таким образом значение $t = 0,97$ для $Pr_{0.7}Ca_{0.3}MnO_3$ при $P = 0$ хорошо согласуется с величиной $t = 0,96$, полученной в [29]. С повышением давления до $P \approx 4$ ГПа наблюдается рост $\langle t \rangle$ от 0,97 до 0,974 в $Pr_{0.7}Ca_{0.3}MnO_3$ и от 0,967 до 0,98 в $Pr_{0.7}Ca_{0.3}Mn_{0.9}Fe_{0.1}O_3$ (рис. 6).

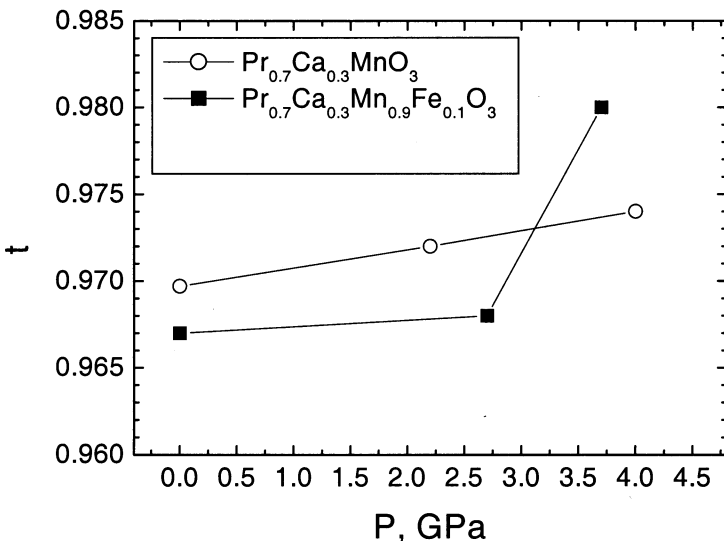


Рис. 6. Зависимость усредненного фактора толерантности $\langle t \rangle$ для $Pr_{0.7}Ca_{0.3}MnO_3$ и $Pr_{0.7}Ca_{0.3}Mn_{0.9}Fe_{0.1}O_3$ от давления

В предположении отсутствия заметных качественных различий в поведении T_{I-M} как функции t в случае внешнего (P) и «химического» (уменьшение $\langle r_A \rangle$)

давления в $\text{Pr}_{0.7}\text{Ca}_{0.3}\text{MnO}_3$ при относительном росте t на 0,41%, соответствующем увеличению давления до 4 ГПа, следует ожидать увеличения $T_{\text{I-M}}$ до значения $T_{\text{I-M}} \sim 140$ К. В работе [11] установлено, что в диапазоне давлений 0,5 – 1,5 ГПа температура перехода диэлектрик - металл в $\text{Pr}_{0.7}\text{Ca}_{0.3}\text{MnO}_3$ увеличивается от $T_{\text{I-M}} = 66$ К до 118 К, причем градиент роста $T_{\text{I-M}}$ уменьшается с увеличением давления.

По-видимому, фактор толерантности является универсальной характеристикой, качественно определяющей изменения свойств мanganитов как при приложении внешнего высокого давления, так и при вариации $\langle r_A \rangle$.

5. Заключение

Результаты настоящей работы показывают, что воздействие внешнего высокого давления приводит к возникновению антиферромагнитного состояния А-типа в исследуемых мanganитах, которое является металлическим в $\text{Pr}_{0.7}\text{Ca}_{0.3}\text{MnO}_3$ и, по-видимому, металлическим в $\text{Pr}_{0.7}\text{Ca}_{0.3}\text{Mn}_{0.9}\text{Fe}_{0.1}\text{O}_3$. Возможной причиной данного явления может быть анизотропия сжимаемости этих соединений, которая приводит к одноосному сжатию кислородных октаэдров MnO_6 и преимущественному заселению орбиталей $d(x^2-y^2)$ ионов Mn.

Проведенные на основе полученных структурных данных расчеты показали, что под воздействием давления происходит рост ширины зоны носителей заряда W , что в рамках модели двойного обмена качественно согласуется с экспериментально наблюдаемым ростом температуры перехода диэлектрик - металл $T_{\text{I-M}}$ в исследуемых соединениях.

Авторы признательны G.H. Rao за предоставление образцов для исследований.

Работа выполнена при поддержке Российского фонда фундаментальных исследований, грант РФФИ № 03-02-16879, и Министерства промышленности, науки и технологий РФ, госконтракт № 40.012.1.1.1148 и грант поддержки уникальных установок России.

Литература

- [1] M.B.Salamon and M.Jaime, Rev. Modern Phys. **73**, 583 (2001).
- [2] H.Y.Hwang, S.-W.Cheong, P.G.Radaelli, M.Marezio, and B.Batlogg, Phys. Rev. Lett. **75**, 914 (1995).
- [3] H.Y.Hwang, T.T.M.Palstra, S.-W.Cheong, and B.Batlogg, Phys. Rev. B **52**, 15046 (1995).
- [4] C.Zener, Phys. Rev. **81**, 440 (1951); **82**, 403 (1951).
- [5] P.W.Anderson, H.Hasegawa, Phys. Rev. **100**, 675 (1955).
- [6] P.-G. de Gennes, Phys. Rev. B **118**, 141 (1960).
- [7] Z.Jirak, S.Krupicka, Z.Simsa, M.Dlouha, and S.Vratislav, J. Magn. Magn. Mater. **53**, 153 (1985).
- [8] P.G.Radaelli, G.Iannone, M.Marezio, H.Y.Hwang, S.-W.Cheong, J.D.Jorgensen, D.N.Argyriou, Phys. Rev. B **56**, 8265 (1997).
- [9] P.G.Radaelli, R.M.Ibberson, D.N.Argyriou, H.Casalta, K.H.Andersen, S.-W.Cheong, and J.F.Mitchell, Phys. Rev. B **63**, 172419 (2001).
- [10] A.M.Balagurov, V.Yu.Pomjakushin, D.V.Shestopalov, V.L.Aksenov, P.Fischer, L.Keller, O.Yu.Gorbenko, A.R.Kaul, and N.A.Babushkina, Phys. Rev. B **64**, 024420 (2001).

- [11] Y.Moritomo, H.Kuwahara, Y.Tomioka, Y.Tokura, Phys. Rev. B **55**, 7549 (1997).
- [12] H.Yoshizawa, R.Kajitomo, H.Kawano, Y.Tomioka, Y.Tokura, Phys. Rev. B **55**, 2729 (1997).
- [13] F.Damay, A.Maignan, C.Martin, B.Raveau, J. Appl. Phys. **82**, 1485 (1997).
- [14] S.Hebert, A.Maignan, C.Martin, B.Raveau, Solid State Commun. **121**, 229 (2002).
- [15] F.Damay, C.Martin, A.Maignan, B.Raveau, J. Magn. Magn. Mater. **183**, 143 (1998).
- [16] V.L.Aksenov, A.M.Balagurov, V.P.Glazkov, D.P.Kozlenko, I.V.Naumov, B.N.Savenko, D.V.Shevtyakov, V.A.Somenkov et al., Physica B **265** (1999) 258.
- [17] Б.П.Глазков, И.Н.Гончаренко, Физика и техника высоких давлений **1**, 56 (1991).
- [18] V.B.Zlokazov and V.V.Chernyshev, J. Appl. Cryst. **25** (1992) 447.
- [19] J.Rodriguez-Carvajal, Physica B **192** (1993) 55.
- [20] C.Martin, A.Maignan, M.Hervieu, and B.Raveau, Phys. Rev. B **60**, 12191 (1999).
- [21] G.H.Rao, J.R.Sun, A.Kattwinkel, L.Haupt, K.Barner, E.Schmitt, E.Gmelin, Physica B **269**, 379 (1999).
- [22] Z.Fang, I.V.Solovyev, and K.Terakura, Phys. Rev. Lett. **84**, 3169 (2000).
- [23] Y.Konishi et al., J. Phys. Soc. Jpn. **68**, 3790 (1999).
- [24] С.Крупичка, *Физика ферритов и родственных им магнитных окислов*, Мир, Москва (1976), т. 1, стр. 162.
- [25] E.Pollert, Z.Jirák, J.Hejtmánek, A.Strejc, R.Kužel, V.Hardy, J. Magn. Magn. Mater. **246**, 290 (2002).
- [26] R.Kajimoto, H.Yoshizawa, H.Kawano, Y.Tokura, K.Ohoyama, and M.Ohashi, Phys. Rev. B **60**, 9506 (1999).
- [27] W.A.Harrison, *The Electronic Structure and Properties of Solids*. Freeman, San Francisco (1980).
- [28] M.Medarde, J.Mesot, P.Lacorre, S.Rosenkranz, P.Wischer, and K.Gobrecht, Phys. Rev. B **52**, 9248 (1995).
- [29] W.Archibald, J.-S.Zhou and J.B.Goodenough, Phys. Rev. B **53**, 14445 (1996).

Получено 13 марта 2003 г.

Козленко Д. П. и др.

P14-2003-49

Магнитные фазовые переходы в допированных железом мanganитах

$\text{Pr}_{0.7}\text{Ca}_{0.3}\text{Mn}_{1-y}\text{Fe}_y\text{O}_3$ при высоких давлениях

Методом нейтронной дифракции исследована атомная и магнитная структура мanganитов $\text{Pr}_{0.7}\text{Ca}_{0.3}\text{Mn}_{1-y}\text{Fe}_y\text{O}_3$ ($y=0, 0.1$) при высоких давлениях до 4 ГПа в диапазоне температур 16–300 К. При нормальном давлении, в области низких температур в $\text{Pr}_{0.7}\text{Ca}_{0.3}\text{MnO}_3$ происходит фазовый переход из парамагнитного в антиферромагнитное (АФМ) состояние псевдоCE-типа, а в $\text{Pr}_{0.7}\text{Ca}_{0.3}\text{Mn}_{0.9}\text{Fe}_{0.1}\text{O}_3$ — переход из парамагнитного в ферромагнитное состояние. Частичное замещение атомов Mn атомами Fe приводит к заметному уменьшению среднего магнитного момента на атом. При давлении $P \approx 2.2$ ГПа в $\text{Pr}_{0.7}\text{Ca}_{0.3}\text{MnO}_3$ и $P \approx 2.7$ ГПа в $\text{Pr}_{0.7}\text{Ca}_{0.3}\text{Mn}_{0.9}\text{Fe}_{0.1}\text{O}_3$ в области низких температур наблюдалось возникновение нового АФМ-состояния А-типа. Возможной причиной стабилизации АФМ-состояния А-типа под давлением может являться анизотропия сжимаемости этих соединений, которая приводит к одноосному сжатию кислородных октаэдров MnO_6 в структуре и формирует предпочтительные условия для его возникновения. На основе полученных структурных параметров рассчитана зависимость ширины зоны носителей заряда от давления в исследуемых соединениях.

Работа выполнена в Лаборатории нейтронной физики им. И. М. Франка ОИЯИ.

Препринт Объединенного института ядерных исследований. Дубна, 2003

Перевод авторов

Kozlenko D. P. et al.

P14-2003-49

Magnetic Phase Transitions in Iron-Doped Manganites

$\text{Pr}_{0.7}\text{Ca}_{0.3}\text{Mn}_{1-y}\text{Fe}_y\text{O}_3$ at High Pressures

Atomic and magnetic structure of manganites $\text{Pr}_{0.7}\text{Ca}_{0.3}\text{Mn}_{1-y}\text{Fe}_y\text{O}_3$ ($y=0, 0.1$) has been studied by means of neutron diffraction at high pressures up to 4 GPa in the temperature range 16–300 K. At ambient pressure and low temperature, a phase transition from paramagnetic to antiferromagnetic (AFM) state of pseudo-CE type in $\text{Pr}_{0.7}\text{Ca}_{0.3}\text{MnO}_3$ and a phase transition from paramagnetic state to ferromagnetic state in $\text{Pr}_{0.7}\text{Ca}_{0.3}\text{Mn}_{0.9}\text{Fe}_{0.1}\text{O}_3$ occur. Partial substitution of Mn by Fe atoms leads to the noticeable decrease of the average value of the magnetic moment per atom. At high pressure $P \approx 2.2$ GPa in $\text{Pr}_{0.7}\text{Ca}_{0.3}\text{MnO}_3$ and $P \approx 2.7$ GPa in $\text{Pr}_{0.7}\text{Ca}_{0.3}\text{Mn}_{0.9}\text{Fe}_{0.1}\text{O}_3$ in the low temperature range, an appearance of the new AFM state of A-type was observed. The possible reason for the stabilization of the AFM state of A-type is the compression anisotropy of these compounds which leads to the apical compression of MnO_6 octahedra in the structure and forms preferable for its appearance. The obtained structural parameters have been used for a calculation of charge carriers bandwidth as a function of pressure in the investigated compounds.

The investigation has been performed at the Frank Laboratory of Neutron Physics, JINR.

*Редактор М. И. Зарубина.
Макет Н. А. Киселевой*

Подписано в печать 03.04.2003.

Формат 60 × 90/16. Бумага офсетная. Печать офсетная.
Усл. печ. л. 0,68. Уч.-изд. л. 0,9. Тираж 280 экз. Заказ № 53843.

Издательский отдел Объединенного института ядерных исследований
141980, г. Дубна, Московская обл., ул. Жолио-Кюри, 6.

E-mail: publish@pds.jinr.ru
www.jinr.ru/publish/